

## Infinite Nesting Surfaces モデルの飽和粘土地盤の動的問題への適用

東海大学工学部 正員 O. 兵動正幸  
九州大学工学部 " 山内豊範

## 1. まえがき

土か縫返せん断を受けるとき、その塑形挙動は初期応力状態およびその後の応力経路に強く依存することが知られている。具体的には、残留間隙水圧（または本積ひずみ）、初期せん断による残留ひずみ、有効応力の変動に伴なうヒステリシス変化などの負荷条件によって異ってくる。このような現象を表現するためには、異方硬化の概念の導入が不可欠と考えられ、これを表わすモデルとしては、移動硬化モデルが適していると思われる。近年 Mroz ら<sup>1)</sup>は、移動硬化と等方硬化を組み合わせた複合硬化則を表す Inifite Nesting Surfaces モデル（以下 INS モデルと呼ぶ）を提案し、縫返せん断時の土の挙動を表現する試みを行っている。このモデルによれば、載荷時のみならず除荷時においても塑性変形が生じ、ためらかなヒステリシスを表現でき、どのような初期応力状態からも発しても Masing 則を満足しつつ、それと併せて塑性挙動を表わすことができる。しかしながら、Mroz らは実際の土の挙動との対応を十分に示しておらず、このモデルのパラメータの意味も不明確である。本報は、この INS モデルを用いて一维面上で数値解析を行い、飽和粘土の非排水縫返せん断試験結果と比較して、モデルの適合性を検討するものである。

## 2. INS モデルの理論構成

INS モデルにおいては、応力空間における応力点の移動はすべて負荷とともに、無数の降伏面が生じ、またこれらの降伏面のほかに常に降伏面を取り囲むもう一つの曲面が考えられる。この曲面は、以前の荷重履歴または圧密条件によって決まるもので、これを圧密面と呼ぶ。圧密面の形状は橿円であり次式で表わされる。

$$F(p, q, \eta^P) = (p - c)^2 + q^2/m^2 - a^2(\eta^P) = 0 \quad \dots (1)$$

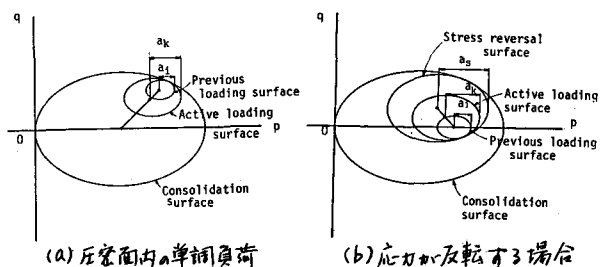
ここで、 $m$ : 橿円の偏平率、 $a$ : 橿円の長軸半径、 $\eta = 1/(1+e)$ 、 $p = (\sigma_a + 2\sigma_b)/3$ 、 $q = \sigma_a - \sigma_b$ 。また、降伏面は応力点が移動するごとにその点を通るよう形成され、圧密面と相似な橿円となり次式で表わされる。 $f(p, q, \alpha_p, \alpha_q, \eta^P) = (p - \alpha_p)^2 + (q - \alpha_q)^2/m^2 - a^2(\eta^P) = 0 \quad \dots (2)$

$\alpha_p$  : 橿円の中心座標、 $\alpha_q$  : 橿円の長軸半径。流れ則は、関連流れ則が適用され、塑性せん断ひずみ、体積ひずみはそれと併せて次のようになる。 $d\varepsilon_g^P = 1/K_P \cdot m g d\sigma_m \quad \dots (3)$   $d\varepsilon_g^P = 1/K_P \cdot m_p d\sigma_m \quad \dots (4)$

ここで、 $m_p = (p - \alpha_p)/G_f$ 、 $m_g = (q - \alpha_q)/G_f m^2$ 、 $G_f = [(p - \alpha_p)^2 + (q - \alpha_q)^2/m^2]^{1/2}$ 、 $d\sigma_m = m_p dp + m_g dq$ 。降伏橿円の位置、大きさは図-1-(a)で示されたような法則にしたがい決定される。すなはち、圧密橿円内を応力点が移動する場合には図の2通りのケースが考えられ、現在の応力点を通る橿円は、1つ前の降伏橿円の中心と圧密橿円（または応力折り返し面）の中心とを結ぶ線上に中心が来るよう決定される。圧密橿円の半径 $\alpha$ は、次式のように塑性間隙比 $e^P$ の関数形で表わされ、 $e^P$ の変化によって拡大、縮小する。また降伏面もそれに応じて拡大、縮小する。

$$\alpha = a_0 \exp[(e_0 - e^P)^\beta / (\lambda - K)] \quad \dots (5)$$

ここで、 $\lambda, K$  : それと $a_0, \beta$  : 曲線の載荷・除荷曲線の定数。また、縫返せん断に伴なう材料の劣化を表現するために降伏面の移動が考慮され次式で表わされる。



(b) 応力が反転する場合

$$d[\alpha_i - \{\alpha_i^*\}] = [\alpha_i - \{\alpha_i^*\}][da(e^p)/a(e^p) - dh] \quad \dots (6) \quad := 1, h = \xi \gamma,$$

$$\gamma = (\gamma_0 + \gamma_u \eta \epsilon_A) / (1 + \eta \epsilon_A), \quad \gamma_u = \gamma_0 [1 + \tau (\alpha_i / a)], \quad \epsilon_A = |d\epsilon_p|, \quad \xi, \gamma_0, \eta, \tau: \text{定数}.$$

INSモデルでは、降伏面の位置、大きさによつて式(3)、(4)の硬さ係数が変化し、次式で表わされる。

$$K_p = K_{PB} + (K_{P0} - K_{PB}) R_i^{(\delta R_i + 1)} \quad \dots (7) \quad := 1, R_i = 1 - \alpha_i / a, K_{P0}, K_{PB}: \text{定数}$$

折り返し点における圧密桶内の硬化係数。以上のようになつてINSモデルは入力、K、K<sub>P0</sub>、ξ、γ<sub>0</sub>、η、τの7個のパラメータを有し、これらを適宜決めてやる必要がある。

### 3. 教値計算

INSモデルを用いて、側圧一定の非排水繰返し三軸試験をシミュレートした。図-2に初期拘束圧196 kN/m<sup>2</sup>、振幅98 kN/m<sup>2</sup>における片振り、両振りの計算結果を示す。土質定数ならびに使用したパラメータの値は図中に示す。計算は20サイクルまで行つた。ただしあるが、両振り、片振りの特徴が良く現われている。パラメータの決定方法は以下のような方法によつた。まず、 $\gamma = 0$ 、すなはちP軸上で応力点を移動させた。結果は、等方圧密、除荷の試験結果と対比して図-3に示してある。この場合、荷重曲線の形状がK<sub>P0</sub>、γ<sub>0</sub>の影響を大きく受けたので、これらの値をここで決定した。図-3(a)、(b)よりそれがし、K<sub>P0</sub> = 10<sup>5</sup> kgf/cm<sup>2</sup>、γ<sub>0</sub> = 10 が採用された。次に、同じ粘土に対する非排水繰返し三軸試験結果(片振り、

繰返し回数3600回、地盤図-2のものと同一条件)と対比して他のパラメータを求めた。ここでは降伏面の移動を支配するパラメータ(式6)を小さくしてその影響を除いた。ての値を1.5に固定するとそれは約から2.5までの値となりうる。このように決めてやると残りはηだけになる。ηの変化による残留ひずみ

せき面

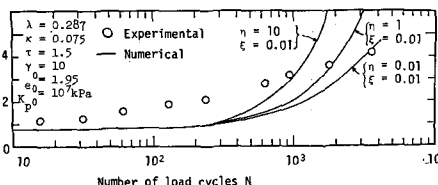
水圧ひずみ

化が図-4、

5に示され

る。図に示

される程度の



近似度2あるN<sup>1/2</sup>、η = 1 の場合せきみ水圧とも最終値で

実験値に近づいている。

謝辞: ここで用いた実験データは、すべて西日本工业大学教授よりいただいたものである。また同教授には、貴重なご意見をいただいた。記して謝意を表す所存である。

参考文献: 1) Z. Mroz et al.: Geotechnique, Vol. 31, No. 4, pp. 451-469, 1981.

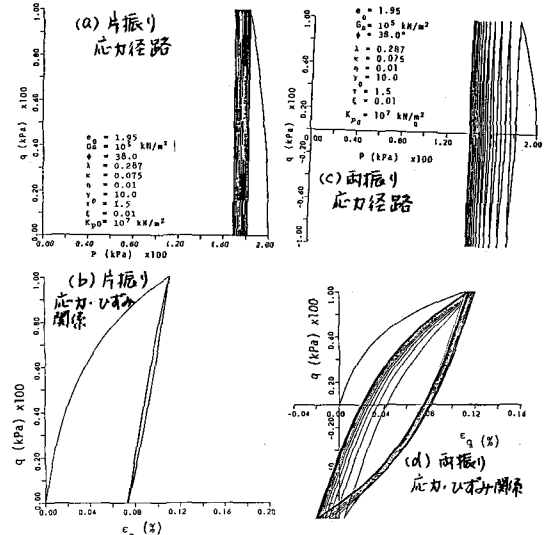


図-2 繰返し三軸試験のシミュレーション

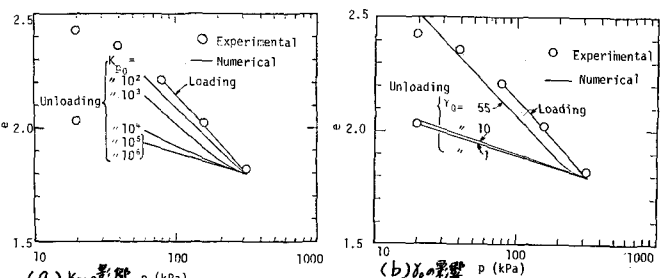


図-3 等方圧密、除荷試験のシミュレーション

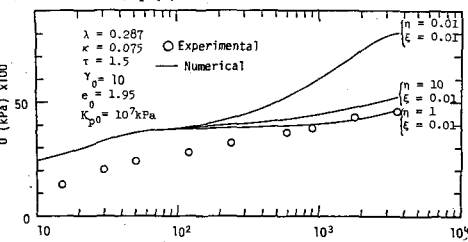


図-5 繰返し回数と間隙水圧の関係